

تعیین پارامترهای برهمکنش مدل‌های ضریب فعالیت در استخراج مایع - مایع با بهینه‌سازی توده ذره‌ها

محمد جواد ابراهیم‌خانی^{*}، حسین قنادزاده گیلانی*

گروه مهندسی شیمی، دانشکده فنی، دانشگاه گیلان، رشت، ایران

چکیده: به تازگی روش‌های بهینه‌سازی فرآینکاری به طور گسترده در محاسبه‌های تعادل فازی مورد استفاده قرار گرفته است. از بین این روش‌ها، می‌توان از الگوریتم بهینه‌سازی توده ذره‌های (PSO) برای محاسبه پارامترهای برهمکنش دوتایی مدل‌های ضریب فعالیت در سامانه‌های تعادلی استفاده کرد. در این مطالعه، با استفاده از الگوریتم بهینه‌سازی توده ذره‌ها، پارامترهای برهمکنش ۵ مدل (مارگولس-۲-پارامتری، مارگولس-۳-پارامتری، ویلسون، NRTL و UNIQUAC) برای ۲۰ سامانه تعادلی سه‌جزئی (آب + اسیدهای کربوکسیلیک + حلال‌های آlkی) شامل ۱۲۶ خط رابط محاسبه شد. مقدار پارامترهای برهمکنش دوتایی این مدل‌ها به همراه میانگین انحراف مربع ریشه (RMSD) گزارش شد. مقدار میانگین RMSD سامانه‌ها به ترتیب مدل‌های یادشده ۰/۰۲۹۶، ۰/۰۱۱۴، ۰/۰۰۴۱، ۰/۰۱۶، ۰/۰۰۰۴۱ و ۰/۰۰۳۶ شد. نتیجه‌ها یانگر این است، به جز مدل مارگولس-۲-پارامتری، دیگر مدل‌ها دقیقه‌نسبت مناسبی دارند. با مقایسه میانگین RMSD مقاله‌ها در مدل‌های NRTL و UNIQUAC مقدارها به ترتیب مدل‌ها از ۰/۰۱۲۴ و ۰/۰۱۸۱ و ۰/۰۰۱۶ و ۰/۰۰۳۴ و ۰/۰۰۰۳۴ بهبود یافته‌اند.

واژه‌های کلیدی: استخراج مایع-مایع، بهینه‌سازی توده ذره‌ها، پارامتر برهمکنش دوتایی، مدل ضریب فعالیت، اسیدهای کربوکسیلیک.

KEYWORDS: Liquid-liquid extraction, Particle swarm optimization, Binary interaction Parameters, Activity coefficient model, Carboxylic acid.

مقدمه

در دسته روش‌های مستقیم جداسازی هستند و اگر چه فراورده‌های به دست آمده از این فرایندها از درجه خلوص بالایی برخوردارند، ولی در بسیاری از موارد اجزاء مخلوط، ویژگی‌های فیزیکی و شیمیایی همانندی دارند و تشکیل مخلوط‌های هم‌جوش (آئونتزوپ) می‌دهند؛ در این صورت استخراج و جداسازی آن‌ها با این روش‌های جداسازی مستقیم امکان‌پذیر و یا مقرر به صرفه نیست. بنابراین استفاده از روش استخراج مایع-مایع برای جداسازی چین سیستم‌هایی، در پژوهه‌های صنعتی و در مهندسی شیمی بسیار دارای اهمیت است[۲].

بررسی فرایندهای جداسازی اجزاء مخلوط‌های چندجزئی همواره از مهم‌ترین موضوع‌های مورد توجه پژوهشگران در صنایع شیمیایی و مهندسی شیمی است. به ندرت می‌توان یک فرایند شیمیایی را یافت که نیاز به خالص‌سازی اولیه مواد خام و یا جداسازی نهایی فراورده‌ها از فراورده‌های جانبی واکنش نداشته باشد[۱]. اساس روش‌های جداسازی به ویژگی‌ها مواد استوار است، به این منظور می‌توان به روش‌هایی مانند تقطیر جزء‌به‌جزء، تبخیر، تبلور، جذب سطحی و استخراج با حلال اشاره کرد. فرایندهای جداسازی مانند تقطیر و تبخیر

+E-mail: hggilani@guilan.ac.ir

* عهده‌دار مکاتبات

زیادی در این ارتباط وجود دارد. سینق^{۱۱} و همکاران از الگوریتم ژنتیک برای تعیین پارامترهای برهمنش مدل‌های NRTL و UNIQUAC در تعادل سامانه‌های LLE چندجزئی استفاده نمودند [۱۷] و نشان دادند که عملکرد آن از روش تعیین واریانس داخلی^{۱۲} (IVEM) و روش‌های به کار گرفته در ASPEN و DECHHEMA توسط ساھو^{۱۳} و همکاران [۱۸] بهتر است. رشتچیان و همکاران به بررسی رفتارهای فازی سامانه‌های چندجزئی و چندفازی بر اساس الگوریتم ژنتیک NRTL پرداختند و پارامترهای برهمنش دوتایی مدل‌های ویلسون، و UNIQUAC را برای تعدادی از سامانه‌ها محاسبه کرده و با LLE و VLLE پارامترهای برهمنش دوتایی در سامانه‌های VLE، VLE و VLE استفاده نمودند [۱۹]. نتیجه‌های این مقایسه، که در مقاله‌ها گزارش شده‌اند، مقایسه نمودند [۱۹]. پیش‌بینی خیلی خوب آن‌ها را نشان داد. الوارز^{۱۴} و همکاران، اظهار کردند که روش‌های بهینه‌سازی تصادفی، همچون روش‌های جبری در بسیاری از کاربردهای گوناگون مهندسی قادرند و موثر هستند و از الگوریتم ژنتیک برای تعیین پارامترهای مدل ویلسون در سامانه استفاده نمودند [۲۰]. همچنین اشاره کردند که الگوریتم تبرید تدریجی^{۱۵} نیازمند نقطه شروع است، ولی الگوریتم ژنتیک و تکامل تفاضلی^{۱۶} نیازی به حدس اولیه ندارند و تنها نیازمند تعریف یک محدوده بالا و پایین از متغیرها هستند. وطنی و همکاران در سال ۲۰۱۲ میلادی، از الگوریتم ژنتیک برای محاسبه پارامترهای برهمنش مدل‌های مارگولس ۲-پارامتری^{۱۷} و NRTL در سامانه‌های سه‌جزئی استخراج توسط مایعات یونی استفاده نمودند [۲۱]. کاپوچه^{۱۸} و همکاران در سال ۲۰۱۲ میلادی، با ترکیبی از دو روش بهینه‌سازی تصادفی الگوریتم ژنتیک و تبرید تدریجی با الگوریتم‌های ترکیبی^{۱۹} باعث بهمود در تعیین پارامترهای برهمنش مدل‌های ضریب فعالیت NRTL و UNIQUAC در سامانه‌های سه‌جزئی استخراج الكل با (دی‌کلرومتان و دی‌انیل‌اتر) شدند [۲۲]. عسگرپور و همکاران در سال ۲۰۱۴ میلادی، به تعیین پارامترهای برهمنشی مدل‌های ویلسون، NRTL و UNIQUAC با استفاده از دو روش بهینه‌سازی تکاملی الگوریتم ژنتیک و بهینه‌سازی توده ذره‌ها در

اسیدهای کربوکسیلیک یکی از مواد شیمیابی آلی است که با فرایندهای سنتز شیمیابی و یا تخمیر تولید می‌شود. در هر دو روش، محلول آبی و اسیدی ایجاد می‌شود که جداسازی اسید از فاز آب نیاز است [۳-۶]. در حال حاضر برای از بین بردن مواد زاید از قبیل رنگ‌ها، فلزات سنگین و اسیدها از منابع آب و فاضلاب از روش‌های فیزیکی، شیمیابی و زیستی از قبیل جذب^۴، رسوب شیمیابی^۵، فناوری‌های الکتروشیمیابی^۶، تبادل یونی^۷، استخراج^{۸,۹}، فیلتراسیون غشایی^{۱۰} و اسمز معکوس^{۱۱} استفاده شده است. استخراج مایع - مایع با استفاده از یک حلال برای جداسازی ترکیبات آلی از آب، یک روش به صرفه، مناسب و فرایند سازگار با محیط زیست است [۳-۶].

همه سامانه‌های تعادل مایع-مایع را می‌توان با استفاده از مدل‌های تعادل ترمودینامیکی بر مبنای ضریب فعالیت امانند مدل‌های مارگولس^۳، ویلسون^۴، NRTL^۵... مدل‌سازی نمود. همچنین باید دانست که این مدل‌های ترمودینامیکی بدون تنظیم پارامترهای برهمنش دوتایی مدل‌ها، دقیق و قابل اعتماد نیستند، مگر این که پارامترهای برهمنش^۸ مدل‌ها بر اساس داده‌های تجربی هر سامانه تعادلی مایع - مایع با روش‌های محاسباتی بهدست آیند [۱۵-۱۲]. در محاسبات تعادل فازی یکی از مسائل مهم، تعیین همین پارامترهای قابل تنظیم در مدل‌های گوناگون ضریب فعالیت است. هر یک از مدل‌ها دارای مجموعه‌ای از پارامترهایی است که باید با داده‌های آزمایشگاهی مرتبط شوند و این تعیین یکی از مسئله‌های چالشی است. با توجه به محاسبات تعادلی فازی، روش‌های گوناگونی در مقاله‌ها پیشنهاد شده است. یکی از بهترین این راه حل‌ها، استفاده از روش‌های بهینه‌سازی با تعریف تابع هدف حداقل مربعات خطای کسر مولی است. در این مسئله‌ها، تابع هدف یک رابطه پیچیده شدیداً غیرخطی و دارای چندین نقاط اکسترمم در محدوده مشخصی از داده‌های است [۱۶]. بنابراین، به کارگیری روشی که نتیجه‌های آن منتهی به بهینه‌سازی کلی^۹ متغیرها شود، ضروری است. روش‌های بهینه‌سازی فرا ابتکاری^{۱۰}

(۱) adsorption

(۲) chemical precipitation

(۳) Ion exchange

(۴) Margules

(۵) Wilson

(۶) Non Random Two Liquids

(۷) Global Optimization

(۸) Interaction Parameters

(۹) Singh

(۱۰) Inheuristic

(۱۱) Sahoo

(۱۲) Inside Variance Estimation Method

(۱۳) Alvarez

(۱۴) Differential Evolution

(۱۵) Kabouche

(۱۶) Hybrid

کسر مولی با رابطه $w_i = Mw_i x_i / \sum_{i=1}^N Mw_i x_i$ به کسر جرمی تبدیل می‌شود. تعیین پارامترهای برهم‌کنش مدل‌های ترمودینامیکی بر اساس کمینه کردن تابع برازنده‌گی به دست خواهد آمد. تابع برازنده‌گی در این مطالعه با رابطه (۳) که در آن بر اساس انحراف کسر جرمی داده آزمایشگاهی با کسر جرمی محاسبات برای تمام اجزاء، تعریف می‌شود.

$$F_{fit} = \sum_{k=1}^t \sum_{j=1}^p \sum_{i=1}^n (w_{ijk}^{exp} - w_{ijk}^{cal})^2 \quad (3)$$

که در آن زیرنویس‌های i ، j و k مشخص کننده اجزاء و بالانویس exp و cal نشان دهنده داده‌های آزمایشگاهی و محاسباتی و t ، p و n به ترتیب تعداد خط رابطه، تعداد فاز و تعداد اجزاء است. مقایسه داده‌های آزمایشگاهی با داده‌های محاسباتی با استفاده از ریشه مربع میانگین انحرافات (RMSD) که در رابطه (۴) آمده صورت می‌پذیرد.

$$RMSD = \left[\frac{1}{nt} \sum_{k=1}^t \sum_{j=1}^p \sum_{i=1}^n (w_{ijk}^{exp} - w_{ijk}^{cal})^2 \right]^{1/2} \quad (4)$$

مدل‌های گوناگون ضریب فعالیت

جهت توصیف رفتار واقعی مخلوط‌های چندجزئی، مدل‌های ترمودینامیکی گوناگون وجود دارد که در آنها، تابع انرژی گیبس اضافی، برای توصیف ضرایب فعالیت اجزاء گوناگون، به عنوان تابعی از دما و ترکیب سیستم، مورد استفاده قرار می‌گیرد. در این مدل‌ها، پارامترهای برهم‌کنش دوتایی بین اجزاء، برای تشریح رفتار واقعی مخلوط‌ها به کار می‌روند.

مدل مارگولس دوپارامتری و سهپارامتری

در مدل مارگولس دوپارامتری، محاسبه ضریب فعالیت γ_i برای اجزاء یک سامانه سه‌جزئی بر اساس روابط (۵) به دست می‌آید.

$$\ln \gamma_i = A_{ii} x_i + A_{rr} x_r + (A_{ir} + A_{ri} - A_{rr}) x_i x_r \quad (5)$$

$\ln \gamma_r = A_{rr} x_r + A_{ii} x_i + (A_{ir} + A_{ri} - A_{rr}) x_i x_r$
که در آن، A_{ii} و A_{rr} پارامترهای برهم‌کنش دوتایی مدل است، که در این کار این پارامترها باید به دست آیند. همچنین مدل مارگولس سهپارامتری برای سامانه سه‌جزئی بر اساس ضریب فعالیت جزء ۱ در (۶) آمده است.

(۱) Fitness Function

سامانه‌های سه‌جزئی، چهارجزئی و پنج‌جزئی پرداختند و نشان دادند که دو روش الگوریتم ژنتیک و بهینه‌سازی توده ذره‌ها، برای محاسبه‌های تعادلی LLE قابل اعتماد است [۲۳].

در این مطالعه، ۲۰ سامانه سه‌جزئی تعادل مایع – مایع ($A_b + A_s$) اسیدهای کربوکسیلیک + حلال‌های آبی) در دمای گوناگون از منبع‌های [۲] و [۳۰–۲۴] استخراج شده است و از الگوریتم بهینه‌سازی توده ذره‌ها با یک تابع برازنده‌گی^۱ برای محاسبه پارامترهای برهم‌کنش دوتایی مدل‌های ترمودینامیکی ضریب فعالیت استفاده شده است. در این کار، به منظور جامعیت در مقایسه و بررسی دقت مدل‌های ضریب فعالیت از ۵ مدل مارگولس ۲-پارامتری، مارگولس ۳-پارامتری، ویلسون، NRTL و UNIQUAC استفاده شده است. پارامترها و RMSD به دست آمده از سامانه‌های مورد بررسی با مقدار آن‌ها در مقاله‌ها مقایسه شده است که نتیجه‌ها حاکی از بهبود پارامترها و کاهش RMSD و مoid بهتر بودن این روش نسبت به روش‌های مرسوم تعیین پارامترهای برهم‌کنش مدل‌های ضریب فعالیت در استخراج اسیدهای کربوکسیلیک در محیط آبی توسط حلال‌های آبی رضایت‌بخش و قابل اعتماد است.

بخش نظری

مدل‌سازی تعادلی مایع – مایع

شرایط تعادلی ترمودینامیکی بین دو فاز مایع – مایع، فاز آبی I و آبی بر حسب کسر مولی x_i و ضریب فعالیت γ_i به صورت رابطه (۱) محاسبه می‌شود.

$$(\gamma_i x_i)^I = (\gamma_i x_i)^II \quad (1)$$

همچنین با حل معادله ۲ که معروف به معادله راچفورد – رایس است، نسبت جدا شده مولی به دست آمده و سپس می‌توان کسر مولی اجزاء در هر دو فاز را به دست آورد [۳۱].

$$\sum_i \frac{Z_i (1 - K_i)}{1 + L(1 - K_i)} = 0 \quad (2)$$

که در این رابطه Z_i کسر مولی کلی، L نسبت جدا شده مولی به ازای ۱ مول ماده اولیه، K_i ضریب توزیع جزء i به صورت $K_i = \gamma_i^{II} / \gamma_i^I$ است. در این رابطه γ_i را می‌توان از مدل‌های ترمودینامیکی با تنظیم مناسب پارامترهای برهم‌کنش اجزاء به دست آورد. با توجه به اینکه داده‌های گزارش شده در برخی از منابع بر اساس کسر جرمی است،

(۲) tie-line

در رابطه فوق به صورت کلی $A_{ii} = A_{jj} = 0$ ، $A_{ij} \neq A_{ji}$ در این رابطه پارامترهای غیرتصادفی $\alpha_{ij} = \alpha_{ji}$ برقرار است و $\alpha_{ij} = \alpha_{ji}$ است که در بازه $/0\text{--}47$ تا $/0\text{--}47$ است [۳۲].

مدل UNIQUAC

مدل ضریب فعالیت UNIQUAC در سامانه‌های چندجزئی برابر با مجموع ضریب فعالیت بخش ترکیبی γ_i^C و ضریب فعالیت بخش باقیمانده γ_i^R است که خواهیم داشت:

$$\ln \gamma_i = \ln \gamma_i^C + \ln \gamma_i^R \quad (13)$$

که در آن

$$\ln \gamma_i^C = \ln \frac{\varphi_i}{x_i} + \frac{z}{2} q_i \ln \frac{\theta_i}{\varphi_i} + l_i - \frac{\varphi_i}{x_i} \sum_j x_j l_j \quad (14)$$

و

$$\ln \gamma_i^R = q_i \left[1 - \ln \left(\sum_{j=1}^m \theta_j \tau_{ji} \right) - \sum_{j=1}^m \frac{\theta_j \tau_{ij}}{\sum_{k=1}^m \theta_k \tau_{kj}} \right] \quad (15)$$

که در رابطه فوق $l_i = (z/2)(r_i - q_i) - (r_i - 1)$ ، تعداد مختصات z روی عدد ۱۰ تنظیم شده و پارامتر برهمنش دوتایی $\tau_{ji} = \exp[-(u_{ji} - u_{ii})/RT] = \exp[-A_{ij}/T]$ است که در آن $\varphi_i = (r_i x_i) / \sum_j r_j x_j$ برقرار است و همچنین $\tau_{ii} = \tau_{jj} = 1$ جزو i است، در این رابطه r_i و q_i به ترتیب کسر حجمی و کسر سطحی جزو i و پارامتر برهمنش مابین جزو i و j است که در آن رابطه $u_{ij} = u_{ji}$ برقرار است [۳۲].

بهینه‌سازی توده ذره‌های (PSO^(۱))

در سال ۱۹۹۵ روش بهینه‌سازی توده ذره‌ها برای اولین بار توسط کندی^(۲) و ابرهارت^(۳) به عنوان یک روش جستجویی برای بهینه‌سازی تابعی مطرح شد [۳۳]. بهینه‌سازی توده ذره‌ها نیز همانند روش‌های بهینه‌سازی فرا ابتکاری دیگر، با تشکیل جمعیت اولیه تصادفی کار می‌کند. این الگوریتم با الگوگیری و شبیه‌سازی بر مبنای رفتار پرواز گروهی پرنده‌گان یا حرکت گروهی ماهی‌ها بنا نهاده شده است. هر عضو در این گروه توسط بردار سرعت

$$\begin{aligned} \ln \gamma_i &= A_{rr} x_r (1 - 2x_i) + 2A_{ri} x_i x_r (1 - x_i) + \\ &A_{rr} x_r^2 (1 - 2x_i) + 2A_{rr} x_i x_r (1 - x_i) + \\ &- 2A_{rr} x_r x_r^2 - 2A_{rr} x_r^2 x_r + \\ &\left[\frac{1}{2} (A_{rr} + A_{rr} + A_{rr} + A_{rr} + A_{rr}) - Q \right] (x_r x_r - 2x_i x_r x_r) \end{aligned} \quad (6)$$

که در آن $A_{rr}, A_{rr}, A_{rr}, A_{rr}, A_{rr}$ و Q پارامترهای برهمنش دوتایی و قابل تنظیم است. برای بیان γ_2 و γ_2 می‌توان از رابطه (۶) با تغییر زیرنویس‌های سمت راست به دست آورد. برای γ_2 ، با جایگزین کردن ۱ با ۲، ۲ با ۳ و ۳ با ۱ و برای γ_2 با جایگزین کردن ۱ با ۳، ۲ با ۱ و ۳ با ۲ می‌توان به دست آورد [۳۲].

مدل ویلسون^(۴)

ضرایب فعالیت ویلسون برای مخلوط چند جزئی به صورت رابطه (۷) است [۳۲].

$$\ln \gamma_k = -\ln \left(\sum_{j=1}^m x_j \Lambda_{kj} \right) + 1 - \sum_{i=1}^m \frac{x_i \Lambda_{ik}}{\sum_{j=1}^m x_j \Lambda_{ij}} \quad (7)$$

که در آن پارامترهای قابل تنظیم Λ_{ij} به صورت روابط (۸) و (۹) است.

$$\Lambda_{ij} \equiv \frac{v_j}{v_i} \exp \left(-\frac{\lambda_{ij} - \lambda_{ii}}{RT} \right) \quad (8)$$

$$\Lambda_{ji} \equiv \frac{v_i}{v_j} \exp \left(-\frac{\lambda_{ji} - \lambda_{jj}}{RT} \right) \quad (9)$$

NRTL مدل

ضرایب فعالیت NRTL برای مخلوط چند جزئی به صورت رابطه (۱۰) است.

$$\ln \gamma_i = \frac{\sum_{j=1}^m \tau_{ji} G_{ji} x_j}{\sum_{l=1}^m G_{li} x_l} + \sum_{j=1}^m \frac{x_j G_{ij}}{\sum_{l=1}^m G_{lj} x_l} \left(\tau_{ij} - \frac{\sum_{r=1}^m x_r \tau_{rj} G_{rj}}{\sum_{l=1}^m G_{lj} x_l} \right) \quad (10)$$

در این مدل، پارامترهای برهمنش دوتایی و اختلاف انرژی با یکدیگر به صورت روابط (۱۱) و (۱۲) با هم در ارتباط هستند:

$$\tau_{ij} = \frac{\Delta g_{ij}}{RT} = \frac{A_{ij}}{T} \quad (11)$$

$$G_{ij} = \exp(-\alpha_{ij} \tau_{ij}) \quad (12)$$

(۱) Wilson

(۲) Kennedy

(۳) Particle Swarm Optimization

(۴) Eberhart

مثبت و در بازه $0/0 \text{ تا } 0/7$ در نظر می‌گیرند. c_1 و c_2 نیز ناید زیاد بزرگ انتخاب شوند، زیرا انتخاب مقدار بزرگ برای این دو ضریب باعث انحراف شدید ذره از مسیر خودی می‌شود. اغلب در الگوریتم بهینه‌سازی توده ذره‌ها مقدار این ضرایب را مثبت و در محدوده $1/5 \text{ الى } 1/7$ در نظر می‌گیرند. لازم به یادآوری است که الزاماً مقدار پیشنهادی بالا تنها انتخاب‌های ممکن برای ضریب‌های W ، c_1 و c_2 نیست، بلکه با توجه به مسئله مورد بررسی ممکن است انتخاب‌های بهتری غیر از موردهای بالا وجود داشته باشد. مرحله‌های اجرای الگوریتم بهینه‌سازی توده ذره‌ها به تفکیک مرحله‌های زیر است:

- تولید تصادفی جمعیت اولیه ذره‌ها
 - ارزیابی تابع هدف (محاسبه هزینه یا برآزندگی) ذره‌ها
 - ثبت بهترین موقعیت برای هر ذره ($P_{i,best}$) و بهترین موقعیت در بین کل ذره‌ها ($P_{g,best}$)
 - بهروزرسانی بردار سرعت تمامی ذره‌ها
 - تست همگرایی
- نمودار گردشی الگوریتم بهینه‌سازی توده ذره‌ها در شکل ۱ نشان داده شده است.
- در این مطالعه، برنامه‌نویسی الگوریتم بهینه‌سازی توده ذره‌ها برای بهینه‌سازی پارامترهای برهم‌کنش مدل‌های ترمودینامیکی MATLAB v. R2014a (MathWorks Inc., USA) در محیط نرم‌افزار (MathWorks Inc., USA) نوشته شده است. پارامترهای الگوریتم بهینه‌سازی توده ذره‌ها به کار رفته در این مطالعه در جدول ۱ آمده است.

نتایج‌ها و بحث

در این مطالعه از الگوریتم بهینه‌سازی توده ذره‌ها که یک روش بهینه‌سازی تکاملی است، به منظور پیش‌بینی رفتار تعادلی مایع-مایع سامانه سه‌جزئی استخراج اسیدهای کربوکسیلیک در محیط آبی توسط حلال‌های آلی استفاده شده است. در این کار از کربوکسیلیک اسیدهای به کار رفته شامل فرمیک اسید، استیک اسید، پروپیونیک اسید، بوتیریک اسید و والریک اسید و از حلال‌های آلی گوناگون هم به منظور جامعیت کار، از اتیل بنزن، ایزوآمیل استات، متیل ایزوآمیل کتون، پروپیلن کربنات، هپتان نرمال، دی کلرومتان، متیل ایزو بوتیل کربنول، ۱-هپتانول، ۱-اتکتانول، ۲-اتیل ۱-هگزانول و اتیل هپتانول استفاده شده است که برخی از ویژگی‌های فیزیکی آن مواد در جدول ۲ ذکر شده است. داده‌های آزمایشگاهی برای این سامانه‌های سه جزئی (آب + اسیدهای کربوکسیلیک + حلال‌های آلی) در دماهای گوناگون از منابع [۲، ۲۶-۳۰] گردآوری شده است که به تشریح در جدول ۳ آمده است.

و بردار موقعیت در فضای جستجو تعریف می‌شود. در هر تکرار زمانی، موقعیت جدید ذره‌ها با توجه به بردار سرعت فعلی بهترین موقعیت یافت شده توسط آن ذره و بهترین موقعیت یافت شده توسط بهترین ذره موجود در گروه بهروزرسانی می‌شود. بهروزرسانی محل بردار سرعت و موقعیت ذره‌ها با رابطه‌های (۱۶) و (۱۷) بدست می‌آید.

$$\begin{aligned} V_i(t) = & W \times V_i(t-1) \\ & + c_1 \times rand_1 \times (P_{i,best} - X_i(t-1)) \\ & + c_2 \times rand_2 \times (P_{g,best} - X_i(t-1)) \end{aligned} \quad (16)$$

$$X_i = X_i(t-1) + V_i(t) \quad (17)$$

که در آن،

X_i : بردار موقعیت i امین ذره در این فضای d بعدی
 V_i : بردار سرعت i امین ذره

$P_{i,best}$: بهترین موقعیتی که ذره i ام پیدا کرده است.

$P_{g,best}$: بهترین موقعیتی که بهترین ذره در بین کل ذره‌ها پیدا کرده است.
ضریب وزنی اینرسی (حرکت در مسیر خودی) که نشان‌دهنده میزان تأثیر بردار سرعت تکرار قبل ($V_i(t)$ بر روی بردار سرعت در تکرار فعلی ($V_i(t+1)$ است.

c_1 : ضریب ثابت آموزش (حرکت در مسیر بهترین مقدار ذره مورد بررسی)
 c_2 : ضریب ثابت آموزش (حرکت در مسیر بهترین ذره یافت شده در بین کل جمعیت)

$rand_1, rand_2$: دو عدد تصادفی با توزیع یکنواخت در بازه $0 \text{ تا } 1$

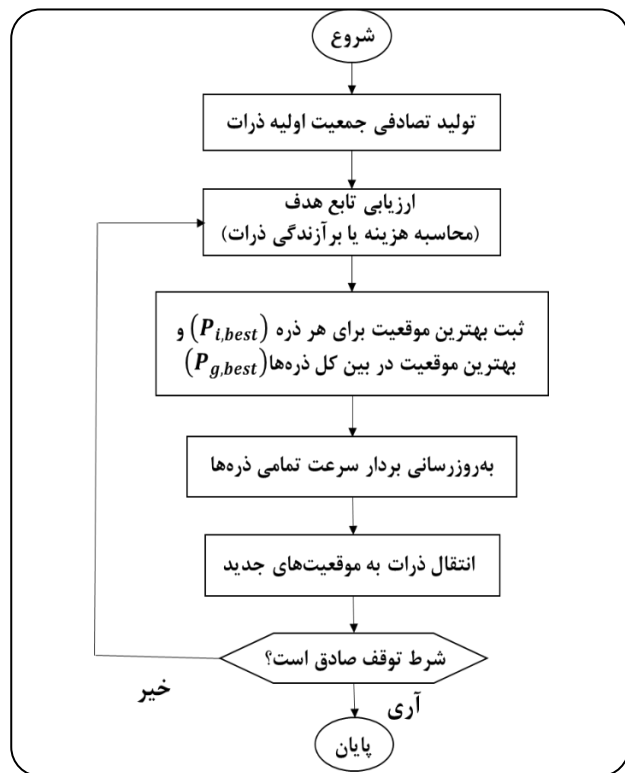
$V_i(t-1)$: بردار سرعت در تکرار $(t-1)$ ام

$X_i(t-1)$: بردار موقعیت در تکرار $(t-1)$ ام

برای جلوگیری از افزایش بیش از حد سرعت حرکت یک ذره در حرکت از یک محل به محل دیگر (واگرا شدن بردار سرعت)، تغییرات سرعت را در محدوده $V_{min} \text{ تا } V_{max}$ تا V_{min} محدود می‌کنیم؛ یعنی $V_{min} \leq V \leq V_{max}$. حد بالا و پایین سرعت با توجه به مسئله مورد مطالعه قابل دست‌یابی است. ضریب‌های W ، c_1 و c_2 با توجه به مسئله مورد نظر به روش تجربی تعیین می‌شوند. ولی به عنوان یک قانون کلی باید در نظر داشت که W باید کمتر از یک باشد، زیرا اگر بزرگتر از یک انتخاب شود ($V(t)$ همواره افزایش می‌یابد تا جایی که واگرا شود). همچنین باید توجه داشت، هرچند در تئوری ضریب W می‌تواند منفی نیز باشد اما در استفاده عملی از این الگوریتم هیچ‌گاه این ضرایب نباید منفی باشد، زیرا منفی بودن W موجب ایجاد نوسان در $V(t)$ می‌شود. انتخاب مقدار کوچک برای ضریب W نیز مشکلاتی را در پی خواهد داشت. بیش‌تر در الگوریتم بهینه‌سازی توده ذره‌ها مقدار این ضریب را

جدول ۱- پارامترهای الگوریتم بهینه‌سازی توده ذره‌های مورد استفاده در این مطالعه

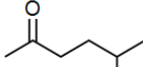
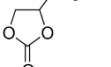
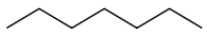
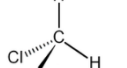
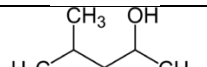
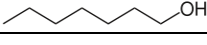
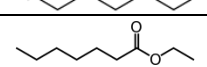
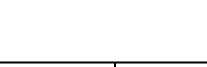
| مقادیرها | پارامتر |
|--|----------------------------|
| ۲۰۰ | اندازه جمعیت |
| ۱۰۰ | تعداد نسل |
| بردار دوتایی | نوع جمعیت |
| ۳ تا برای مدل مارگولس-۲ پارامتری | تعداد متغیرهای تصمیمی گیری |
| ۷ تا برای مدل مارگولس-۳ پارامتری | |
| ۶ تا برای مدل ولیسون | |
| ۹ تا برای مدل NRTL | |
| ۶ تا برای مدل UNIQUAC | |
| ۱۰۰۰ | حداکثر تعداد تکرارها |
| [۵، ۱۰] مارگولس-۲ پارامتری | حد بالایی و پایین متغیرها |
| [۲۰، ۲۰] مارگولس-۳ پارامتری | |
| [۱۵، ۰] ولیسون | |
| [۰، ۲۰۰۰، ۵۰۰۰] اب استثناء α در NRTL که مقدارش [۰/۲، ۰/۴۷] | |
| UNIQUAC [-۲۰۰۰ ۵۰۰۰] | |
| ۱/۵ | c_1 |
| ۲/۵ | c_r |
| ۰/۸ | W |



شکل ۱- نمودار گردشی الگوریتم بهینه‌سازی توده ذره‌ها

جدول ۲- برخی از ویژگی‌های فیزیکی مواد به کار رفته در این مطالعه [۳۴]

| ردیف | نام ترکیب | IUPAC | وزن مولکولی | فرمول شیمیایی | r | q | ساختار شیمیایی |
|-----------------------------|----------------|-----------------------|-------------|---|--------|-------|----------------|
| آب جزء (۱) | | | | | | | |
| ۱ | آب | Water | ۱۸/۰۲ | H _۲ O | ۰/۹۲ | ۱/۴۰ | |
| کربوکسیلیک اسیدهای، جزء (۲) | | | | | | | |
| ۲ | اسید فرمیک | Methanoic Acid | ۴۶/۰۳ | CH _۳ O _۱ | ۱/۵۳ | ۱/۵۳ | |
| ۳ | اسید استیک | Ethanoic Acid | ۶۰/۰۵ | C _۲ H _۳ O _۱ | ۲/۰۷ | ۲/۲۰ | |
| ۴ | اسید پروپیونیک | Propanoic Acid | ۷۴/۰۸ | C _۳ H _۵ O _۱ | ۲/۶۱ | ۲/۸۸ | |
| ۵ | اسید بوتیریک | Butanoic Acid | ۸۸/۱۱ | C _۴ H _۹ O _۱ | ۳/۱۵۲ | ۳/۵۵۱ | |
| ۶ | اسید والریک | Pentanoic Acid | ۱۰۲/۱۳ | C _۵ H _{۱۱} O _۱ | ۴/۲۲۵۶ | ۳/۶۹۲ | |
| حلال‌های آبی جزء (۳) | | | | | | | |
| ۷ | اتیل بنزن | Ethylbenzene | ۱۰۶/۱۷ | C _۸ H _۹ | ۴/۶۰ | ۳/۵۲ | |
| ۸ | ایزوآمیل استات | 3-Methylbutyl Acetate | ۱۳۰/۱۹ | C _۷ H _{۱۳} O _۱ | ۵/۲۷ | ۴/۴۹ | |

| ردیف | نام ترکیب | نام | IUPAC | فرمول شیمیایی | وزن مولکولی | r | q | ساختار شیمیایی |
|------|------------------------|-----------------------------|---|---------------|-------------|-------|---|--|
| ۹ | متیل ایزوآمیل کتون | 5-Methylhexan-2-one | C ₆ H ₁₂ O | ۱۱۴/۱۹ | ۵/۵۰ | ۴/۷۳ | |  |
| ۱۰ | پروپیلن کربنات | 4-Methyl-1,3-dioxolan-2-one | C ₆ H ₁₀ O ₂ | ۱۰۲/۰۹ | ۲/۷۴ | ۳/۲۸ | |  |
| ۱۱ | هپتان نرمال | n-Heptane | C ₇ H ₁₆ | ۱۰۰/۲۱ | ۴/۳۹۶ | ۵/۱۷۴ | |  |
| ۱۲ | دی کلروماتان | Dichloromethane | CH ₂ Cl ₂ | ۹۳/۸۴ | ۱/۹۸ | ۲/۲۰۶ | |  |
| ۱۳ | متیل ایزو بوتیل کربنول | 4-Methylpentan-2-ol | C ₆ H ₁₂ O | ۱۰۲/۱۷ | ۴/۱۴۲ | ۴/۸۰۲ | |  |
| ۱۴ | ۱-هپтанول | Heptan-1-ol | C ₇ H ₁₆ O | ۱۱۶/۸۸ | ۴/۵۷ | ۵/۴۷ | |  |
| ۱۵ | ۱-اکтанول | Octan-1-ol | C ₈ H ₁₈ O | ۱۳۰/۲۳۱ | ۵/۸۳ | ۶/۶۲ | |  |
| ۱۶ | ۲-اتیل-هگزانول | 2-Ethylhexan-1-ol | C ₈ H ₁₈ O | ۱۳۰/۲۳۱ | ۵۳/۱۰ | ۶/۲۰ | |  |
| ۱۷ | اتیل هپتانویت | Ethyl heptanoate | C ₈ H ₁₆ O ₂ | ۱۵۸/۲۴۱ | ۵/۸۱۶ | ۶/۸۵۱ | |  |

جدول ۳- سامانه‌های سه جزئی تعادل مایع-مایع به کار رفته در این مطالعه

| ردیف | نام سامانه | (K) دما | تعداد خط رابط | مرجع |
|--------------|--|---------|---------------|------|
| ۱ | آب (۱) + اسید فرمیک (۲) + اتیل بنزن (۳) | ۲۹۸/۱۵ | ۶ | [۲] |
| ۲ | آب (۱) + اسید استیک (۲) + اتیل بنزن (۳) | ۲۹۸/۱۵ | ۶ | [۲] |
| ۳ | آب (۱) + اسید پروپیونیک (۲) + اتیل بنزن (۳) | ۲۹۸/۱۵ | ۶ | [۲] |
| ۴ | آب (۱) + اسید بوتریک (۲) + اتیل بنزن (۳) | ۲۹۸/۱۵ | ۶ | [۲] |
| ۵ | آب (۱) + اسید فرمیک (۲) + ایزوآمیل استات (۳) | ۲۹۸/۱۵ | ۶ | [۲۴] |
| ۶ | آب (۱) + اسید فرمیک (۲) + متیل ایزوآمیل کتون (۳) | ۲۹۸/۱۵ | ۶ | [۲۴] |
| ۷ | آب (۱) + اسید بوتریک (۲) + ایزوآمیل استات (۳) | ۲۹۸/۱۵ | ۶ | [۲۴] |
| ۸ | آب (۱) + اسید بوتریک (۲) + متیل ایزوآمیل کتون (۳) | ۲۹۸/۱۵ | ۶ | [۲۴] |
| ۹ | آب (۱) + اسید والریک (۲) + پروپیلن کربنات (۳) | ۲۹۸/۲ | ۶ | [۲۵] |
| ۱۰ | آب (۱) + اسید والریک (۲) + هپتان نرمال (۳) | ۲۹۸/۲ | ۱۱ | [۲۶] |
| ۱۱ | آب (۱) + اسید والریک (۲) + دی کلرو متان (۳) | ۲۹۸/۲ | ۷ | [۲۶] |
| ۱۲ | آب (۱) + اسید بوتریک (۲) + متیل ایزوآمیل کربونیل (۳) | ۲۹۸/۲ | ۶ | [۲۷] |
| ۱۳ | آب (۱) + اسید بوتریک (۲) + متیل ایزوآمیل کربونیل (۳) | ۳۰۸/۲ | ۶ | [۲۷] |
| ۱۴ | آب (۱) + اسید بوتریک (۲) + متیل ایزوآمیل کربونیل (۳) | ۳۱۸/۲ | ۶ | [۲۷] |
| ۱۵ | آب (۱) + اسید پروپیونیک (۲) + ۱-هپتانول (۳) | ۲۹۸/۱۵ | ۶ | [۲۸] |
| ۱۶ | آب (۱) + اسید پروپیونیک (۲) + ۱-هپتانول (۳) | ۳۰۸/۱۵ | ۶ | [۲۹] |
| ۱۷ | آب (۱) + اسید بوتریک (۲) + ۱-هپتانول (۳) | ۲۹۸/۱۵ | ۶ | [۲۹] |
| ۱۸ | آب (۱) + اسید بوتریک (۲) + ۱-اکтанول (۳) | ۳۰۸/۲ | ۶ | [۳۰] |
| ۱۹ | آب (۱) + اسید بوتریک (۲) + ۲-اتیل-۱-هگزانول (۳) | ۳۱۸/۲ | ۶ | [۳۰] |
| ۲۰ | آب (۱) + اسید بوتریک (۲) + اتیل هپتانویت (۳) | ۲۸۸/۱۵ | ۶ | [۳۰] |
| کل سامانه‌ها | | | | ۱۲۶ |

**جدول - ۴ - پارامترهای برهم کنش دوتایی مدل مارگولس-۲-پارامتری
به دست آمده در سامانه‌های سه‌جزئی مورد مطالعه**

| RMSD | A ₂₂ | A ₁₃ | A ₁₂ | سامانه |
|--------|-----------------|-----------------|-----------------|--------|
| ۰/۰۰۲۰ | ۱/۸۴۴۱ | ۸/۰۱۲۹ | ۰/۲۶۴۶ | ۱ |
| ۰/۰۰۳۳ | ۲/۲۲۶۱ | ۷/۱۹۱۳ | ۱/۱۳۲۲ | ۲ |
| ۰/۰۰۹۵ | ۰/۱۲۳۵ | ۶/۲۱۰۰ | ۱/۷۷۶۰ | ۳ |
| ۰/۰۲۰۸ | ۱/۵۷۶۸ | ۶/۳۵۵۲ | ۳/۶۵۴۶ | ۴ |
| ۰/۰۳۳۷ | -۱/۸۰۵۳ | ۶/۸۶۹۷ | -۲/۷۷۱۴ | ۵ |
| ۰/۰۴۰۷ | ۹/۰۰۷۴ | ۶/۳۶۵۳ | ۶/۱۱۴۰ | ۶ |
| ۰/۰۲۲۶ | -۰/۹۹۲۱ | ۵/۹۵۹۳ | ۳/۰۰۳۳ | ۷ |
| ۰/۰۳۱۶ | -۰/۱۳۰۶ | ۵/۶۵۵۷ | ۳/۶۳۷۷ | ۸ |
| ۰/۰۲۵۷ | -۰/۸۵۸۸ | ۳/۸۸۴۴ | ۴/۱۳۹۳ | ۹ |
| ۰/۰۳۲۰ | ۰/۶۶۵۸ | ۴/۰۴۳۴ | ۳/۳۷۱۲ | ۱۰ |
| ۰/۰۳۴۵ | ۰/۰۶۳۱ | ۳/۱۴۶۷ | ۲/۵۹۰۰ | ۱۱ |
| ۰/۰۳۵۱ | -۰/۱۸۲۰ | ۵/۰۷۴۱ | ۳/۶۶۱۸ | ۱۲ |
| ۰/۰۳۹۸ | ۰/۰۳۸۷ | ۵/۰۹۶۶ | ۳/۷۶۴۰ | ۱۳ |
| ۰/۰۴۲۱ | ۰/۰۸۲۹ | ۵/۱۰۳۰ | ۳/۸۱۳۶ | ۱۴ |
| ۰/۰۳۸۸ | -۱/۰۶۳۲ | ۵/۸۶۱۳ | ۲/۲۱۱۸ | ۱۵ |
| ۰/۰۳۹۲ | -۱/۰۷۳۰ | ۵/۷۷۱۸ | ۱/۹۱۵۶ | ۱۶ |
| ۰/۰۴۰۵ | -۰/۰۲۱۷ | ۵/۹۳۸۳ | ۴/۲۴۰۳ | ۱۷ |
| ۰/۰۳۷۶ | -۰/۰۲۳۱۶ | ۶/۱۴۹۹ | ۴/۱۲۴۹ | ۱۸ |
| ۰/۰۳۰۳ | ۰/۳۴۱۴ | ۶/۳۰۲۶ | ۴/۰۰۹۶ | ۱۹ |
| ۰/۰۲۸۷ | -۰/۰۷۲۰۰ | ۳/۵۷۰۱ | -۰/۲۲۲۹ | ۲۰ |
| ۰/۰۲۹۴ | میانگین | | | |

فاکتور جداسازی یکی از معیارهای مناسب برای سنجش توانایی حل آلی در استخراج حل شونده است. همچنین نمودار فاکتور انتخاب‌پذیری آزمایشگاهی و محاسباتی از مدل‌ها برای دو سامانه شماره ۹ و ۱۲ از جدول ۳ در شکل ۳ رسم شده است. در این شکل دیده می‌شود که فاکتور انتخاب‌پذیری محاسبه شده به جزء مدل مارگولس-۲-پارامتری بقیه مدل‌ها دقت به نسبت خوبی دارد.

نتیجه‌گیری

محاسبات تعادل مایع - مایع سه‌جزئی برای ۲۰ سامانه (آب + اسیدهای کربوکسیلیک + حلال‌های آلی) با استفاده از ۵ مدل ضریب فعالیت، شامل مارگولس-۲-پارامتری، مارگولس-۳-پارامتری، ویلسون، NRTL و UNIQUAC است. تعیین پارامترهای برهم کنش مدل‌ها با استفاده از الگوریتم بهینه‌سازی توده ذره‌های

در این مطالعه، به منظور جامعیت کار از مدل‌های گوناگون ترمودینامیکی شامل مارگولس ۲ پارامتری و ۳ پارامتری، ویلسون، UNIQUAC و NRTL استفاده شده است. در سامانه‌های سه‌جزئی این مدل‌ها به ترتیب دارای ۳، ۲، ۶، ۹ و ۶ پارامتر برهم کنشی دوتایی است که می‌باشد پارامترهای بهینه آنها به دست آیند. بازه مقدار پارامترهای برهم کنش به عنوان جمعیت اولیه الگوریتم برای مدل‌ها بر اساس جدول (۱) و محدوده مقدار α_{ij} در مدل NRTL بر اساس پیشنهاد پرازنیتر و همکاران [۳۴] در بازه [۰/۷ - ۰/۲] در نظر گرفته شده است.

در مدل UNIQUAC، پارامترهای ساختاری ۲ و ۹ ترکیب‌ها بر اساس جدول ۲ به دست آمده برای ۲۰ سامانه مورد بررسی با مدل‌های ترمودینامیکی مارگولس-۲-پارامتری، مارگولس-۳-پارامتری، ویلسون، NRTL و UNIQUAC در جدول‌های ۴ تا ۸ آمده است. در این جدول‌های میانگین RMSD سامانه‌ها به منظور مقایسه مدل‌های گوناگون به دست آمده است که به ترتیب در مدل‌های یادشده ۰/۰۲۹۴، ۰/۰۱۱۴، ۰/۰۰۴۱، ۰/۰۰۱۶ و ۰/۰۰۳۴ شده است. مقایسه RMSD مدل‌ها نشان می‌دهد که ترتیب دقت مدل‌ها به صورت $\text{UNIQUAC} < \text{NRTL} < \text{مارگولس-۳-پارامتری} < \text{مارگولس-۲-پارامتری} < \text{ویلسون}$ است. همچنین برای مقایسه دقت تعیین پارامترهای برهم کنش دوتایی، RMSD مدل‌ها به دست آمده با روش الگوریتم بهینه‌سازی توده ذره‌ها و با روش‌های دیگری که در مقالات، غالباً از طریق نرم افزار ASPEN به دست آورده‌اند در جداول (۷) و (۸) ذکر شده است. میانگین RMSD به دست آمده در سامانه‌های مورد بررسی با استفاده از الگوریتم بهینه‌سازی توده ذره‌ها در مدل‌های NRTL و UNIQUAC به ترتیب ۰/۰۰۱۶ و ۰/۰۰۳۴ و میانگین RMSD آن مدل‌ها در مقالات به ترتیب ۰/۰۱۲۴ و ۰/۰۱۸۱ شده است. مقایسه نتیجه‌ها نشان می‌دهد که دقت تعیین پارامترهای برهم کنش دوتایی مدل‌های ترمودینامیکی با استفاده از الگوریتم بهینه‌سازی توده ذره‌ها از روش‌های مرسوم ذکر شده در مقاله‌ها بیشتر است.

به منظور مقایسه شمایی دو سامانه شماره ۹ و ۱۲ از جدول ۳ که یکی از آن‌ها تعادل مایع - مایع نوع ۱ و دیگری تعادل مایع - مایع نوع ۲ است، خط رابط داده‌های آزمایشگاهی و محاسباتی مدل‌های گوناگون در نمودار مثلثی شکل ۲ آورده شده است. این شکل نشان می‌دهد که به جزء مارگولس-۲-پارامتری که دقت کمتری دارد، مدل‌های دیگر نسبتاً دقت مناسب و رضایت‌بخشی دارد.

جدول ۵- پارامترهای برهم‌کنش دوتایی مدل مارگولس ۳-پارامتری به دست آمده در سامانه‌های سه‌جزئی مورد مطالعه

| RMSD | Q | A ₂₂ | A ₂₂ | A ₂₁ | A ₁₂ | A ₂₁ | A ₁₂ | سامانه |
|---------|---------|-----------------|-----------------|-----------------|-----------------|-----------------|-----------------|--------|
| -./0004 | -9/9934 | -0/+0515 | 2/4595 | 6/1931 | 5/+0390 | 1/2347 | -/+4776 | ۱ |
| -./0011 | -4/1892 | -2/1174 | 2/7487 | 7/9944 | 4/7978 | 1/8571 | -0/1216 | ۲ |
| -./0019 | -0/8733 | -0/1515 | -0/1016 | 7/0263 | 4/9111 | 1/8507 | -0/7842 | ۳ |
| -./0086 | -3/0116 | -9/9567 | -0/7313 | 6/7927 | 7/2445 | -0/1395 | -9/7177 | ۴ |
| -./0036 | -0/7397 | -7/2248 | -0/6337 | 9/0523 | -1/1502 | -0/5040 | -9/9564 | ۵ |
| -./0031 | 16/6524 | 19/1177 | 1/8/92 | 7/0129 | -0/1099 | 4/7425 | 8/9103 | ۶ |
| -./0009 | -0/2251 | -5/2761 | -0/3729 | 8/0002 | 1/0467 | 1/6200 | -3/2465 | ۷ |
| -./0011 | 3/-0142 | -2/5466 | -1/4364 | 6/1671 | 1/0528 | 2/2468 | -2/8571 | ۸ |
| -./0116 | -4/0891 | -7/0715 | -0/2456 | 3/7229 | -0/5097 | 2/1433 | -4/4023 | ۹ |
| -./0039 | -3/1041 | -10/0410 | 4/2382 | 6/0101 | 6/4536 | 3/0520 | -3/8413 | ۱۰ |
| -./0030 | -0/1499 | -6/2115 | -1/2306 | 5/1950 | 3/7782 | 2/8648 | -5/9228 | ۱۱ |
| -./0027 | 1/4843 | -1/8928 | -3/9262 | 4/4418 | -0/5997 | 2/4423 | -2/4687 | ۱۲ |
| -./0032 | -0/4839 | -3/9363 | -5/2355 | 4/1189 | -1/6435 | 1/7511 | -5/0658 | ۱۳ |
| -./0038 | -2/0097 | -6/0658 | -6/3591 | 3/1989 | -2/3655 | 1/0953 | -7/1733 | ۱۴ |
| -./0106 | 6/1938 | -8/2188 | -5/4402 | 5/8876 | -0/3583 | -2/9039 | -15/1875 | ۱۵ |
| -./0096 | 19/9987 | 7/2524 | 0/9606 | 6/2261 | 1/8509 | 1/7533 | 2/3111 | ۱۶ |
| -./0022 | 6/0761 | -6/8366 | -3/8371 | 6/0515 | -1/5551 | -0/4939 | -11/8462 | ۱۷ |
| -./0055 | 1/2391 | -13/6410 | -4/3196 | 7/2619 | -2/8003 | -1/8828 | -15/8920 | ۱۸ |
| -./0015 | 1/7307 | -8/3588 | -2/5102 | 7/4816 | 1/3670 | -0/421 | -10/1231 | ۱۹ |
| -./0034 | -4/9010 | -1/2943 | -0/4580 | 6/1079 | 1/1898 | 1/2731 | -1/5240 | ۲۰ |
| -./0041 | | | | میانگین | | | | |

جدول ۶- پارامترهای برهم‌کنش دوتایی مدل ویلسون به دست آمده در سامانه‌های سه‌جزئی مورد مطالعه

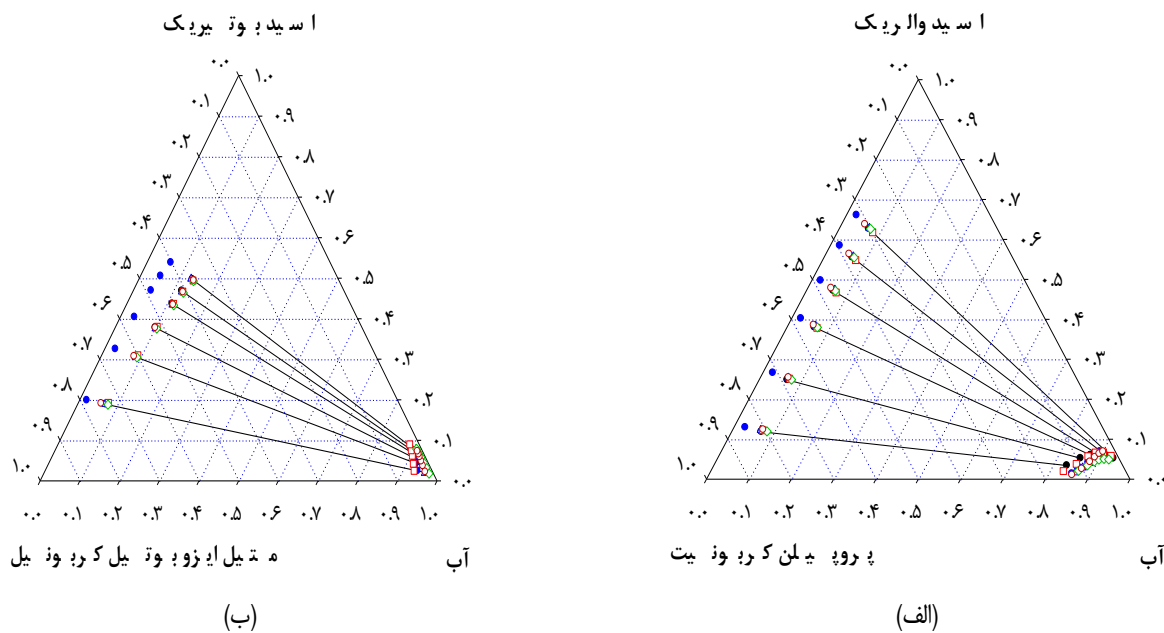
| RMSD | A ₂₂ | A ₂₂ | A ₂₁ | A ₁₂ | A ₂₁ | A ₁₂ | سامانه |
|---------|-----------------|-----------------|-----------------|-----------------|-----------------|-----------------|--------|
| -./0141 | -0/0047 | -0/0003 | 1/7020 | 1/6317 | -0/0138 | 3/0175 | ۱ |
| -./0046 | -0/0048 | -0/0003 | 1/1460 | 2/8562 | -0/0005 | -0/0941 | ۲ |
| -./0135 | -0/0738 | -0/0001 | 3/3752 | -0/3386 | -0/0214 | -0/2540 | ۳ |
| -./0028 | -0/1458 | -0/0001 | -0/3340 | -0/0178 | -0/0140 | -0/0156 | ۴ |
| -./0093 | -0/0166 | -0/0004 | -0/5072 | -0/1514 | -0/1622 | -0/0505 | ۵ |
| -./0181 | -0/0089 | -0/0025 | 4/4322 | 2/23476 | -0/2206 | -0/0145 | ۶ |
| -./0312 | 5/5818 | -0/0007 | 0/8830 | -0/3814 | -0/0422 | -0/0940 | ۷ |
| -./0212 | 8/6560 | -0/0005 | 6/2527 | -0/1403 | -0/0642 | -0/1929 | ۸ |
| -./0012 | -0/7806 | -0/0001 | -0/2763 | -0/0057 | -0/0087 | -0/0108 | ۹ |
| -./0029 | -0/8057 | -0/0113 | 1/7188 | -0/0163 | -0/0157 | -0/0233 | ۱۰ |
| -./0013 | 7/3688 | -0/0006 | 3/1967 | -0/0035 | -0/0141 | -0/0232 | ۱۱ |
| -./0115 | 7/1019 | -0/0001 | 4/9598 | -0/0986 | -0/0268 | -0/0832 | ۱۲ |
| -./0114 | 7/1677 | -0/0014 | 11/4903 | -0/1391 | -0/0599 | -0/0355 | ۱۳ |
| -./0106 | 8/5170 | -0/0001 | 6/3366 | -0/0746 | -0/0897 | -0/0336 | ۱۴ |
| -./0120 | -0/2696 | -0/0001 | 1/3731 | -0/1116 | -0/0975 | -0/1697 | ۱۵ |
| -./0108 | -0/312 | -0/0001 | 1/7589 | -0/0404 | -0/0062 | 1/1413 | ۱۶ |
| -./0052 | -0/3682 | -0/0001 | -0/2310 | -0/0060 | -0/0319 | -0/4240 | ۱۷ |
| -./0185 | 5/2368 | -0/0022 | 9/0690 | -0/1702 | -0/0455 | -0/0815 | ۱۸ |
| -./0220 | 6/7127 | -0/0001 | 10/8507 | -0/2539 | -0/0390 | -0/0475 | ۱۹ |
| -./0067 | -0/0188 | -0/0027 | 3/9146 | 2/2276 | -0/0116 | -0/0132 | ۲۰ |
| -./0114 | | | میانگین | | | | |

جدول ۷- پارامترهای برهم‌کنش دوتایی مدل NRTL به دست آمده در سامانه‌های سه‌جزئی مورد مطالعه

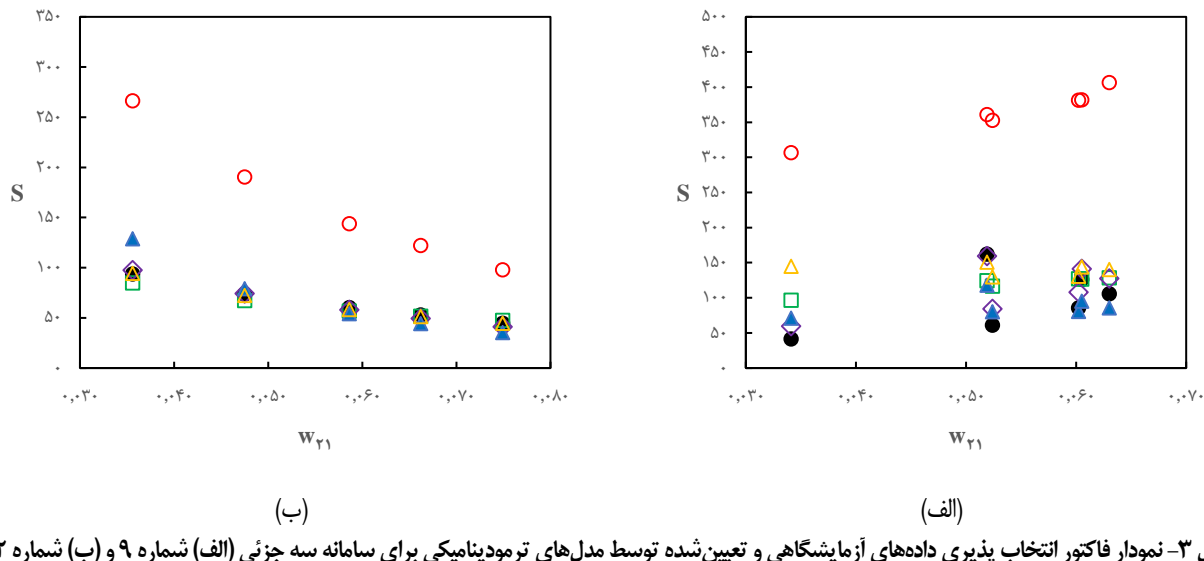
| مرجع | RMSD _{lit} | RMSD | α_{23} | α_{13} | α_{12} | A ₂₂ | A ₂₃ | A ₃₁ | A ₁₃ | A ₂₁ | A ₁₂ | سامانه |
|------|---------------------|-------|---------------|---------------|---------------|-----------------|-----------------|-----------------|-----------------|-----------------|-----------------|---------|
| [۲] | -/0040 | /0009 | -/4323 | -/3860 | -/2522 | 443/7 | 2311/8 | 1372/1 | 4894/9 | 2479/6 | 1740/2 | ۱ |
| [۲] | -/0163 | /0015 | -/3583 | -/4089 | -/4740 | 388/3 | 2414/9 | 1124/3 | 930/9 | 2527/4 | 3539/1 | ۲ |
| [۲] | -/0140 | /0024 | -/3172 | -/3066 | -/4075 | -48/31 | 1475/5 | 499/3 | 449/2 | 2693/1 | 492/5 | ۳ |
| [۲] | -/0144 | /0013 | -/4248 | -/4301 | -/3952 | 571/6 | 1031/2 | 1275/9 | 1114/5 | 1942/2 | 1092/0 | ۴ |
| [۲۴] | -/0135 | /0017 | -/3395 | -/2727 | -/2926 | 526/9 | 722/8 | 634/8 | 93/54 | 3132/8 | 687/9 | ۵ |
| [۲۴] | -/0127 | /0048 | -/4155 | -/2947 | -/3811 | 1000/2 | 1294/8 | 3863/3 | 383/8 | 2944/0 | 3957/3 | ۶ |
| [۲۴] | -/0099 | /0002 | -/2584 | -/3175 | -/3006 | -102/8 | 1717/9 | 688/3 | 2225/5 | 2500/5 | 1182/5 | ۷ |
| [۲۴] | -/0196 | /0003 | -/3431 | -/2740 | -/3411 | 2810/2 | 1453/0 | 1149/8 | 2316/1 | 2084/0 | 1422/8 | ۸ |
| [۲۵] | -/0400 | /0062 | -/7106 | -/4681 | -/2444 | 928/1 | 612/6 | -155/2 | 4976/5 | 1671/3 | 2028/6 | ۹ |
| [۲۶] | -/0136 | /0003 | -/4104 | -/3834 | -/4127 | 1050/3 | 1720/5 | 1440/7 | 716/5 | 2434/8 | 1321/1 | ۱۰ |
| [۲۶] | -/0070 | /0032 | -/2446 | -/4616 | -/2742 | 1347/8 | 1081/3 | 4538/5 | 1257/0 | 1641/8 | 1531/9 | ۱۱ |
| [۲۷] | -/0044 | /0004 | -/3022 | -/2861 | -/3275 | -219/0 | 2653/1 | 1174/8 | 2356/7 | 1600/9 | 1369/8 | ۱۲ |
| [۲۷] | -/0044 | /0006 | -/2301 | -/4641 | -/3704 | 4876/4 | 548/0 | 188/9 | 2024/8 | 1656/2 | 1250/3 | ۱۳ |
| [۲۷] | -/0044 | /0007 | -/4066 | -/2695 | -/1790 | -157/9 | 3831/1 | 854/8 | 2178/2 | 176/9 | 149/8 | ۱۴ |
| [۲۸] | -/0091 | /0018 | -/4460 | -/3103 | -/4404 | -197/1 | 873/5 | 91/59 | 675/2 | 2464/7 | 549/9 | ۱۵ |
| [۲۹] | -/0091 | /0007 | -/3242 | -/3539 | -/4139 | 4168/5 | 330/2 | 910/5 | 796/8 | 1947/2 | 1179/4 | ۱۶ |
| [۲۹] | -/0171 | /0022 | -/4243 | -/3977 | -/4098 | 4820/6 | 962/9 | 2647/0 | 2/45 | 1797/3 | 1135/9 | ۱۷ |
| [۳۰] | -/0167 | /0005 | -/4673 | -/2049 | -/4629 | 2659/9 | 4685/0 | 1/4749 | 1480/3 | 3978/2 | 1095/7 | ۱۸ |
| [۳۰] | -/0051 | /0004 | -/2925 | -/3142 | -/3521 | 338/2 | 634/8 | -38/37 | 2229/3 | 2431/2 | 1251/0 | ۱۹ |
| [۳۰] | | /0027 | -/3791 | -/2373 | -/3620 | 4860/4 | 704/4 | 571/6 | 188/6 | 4230/7 | 229/1 | ۲۰ |
| | -/0124 | /0016 | | | | | | | | | | |
| | | | | | | | | | | | | میانگین |

جدول ۸- پارامترهای برهم‌کنش دوتایی مدل UNIQUAC به دست آمده در سامانه‌های سه‌جزئی مورد مطالعه

| مرجع | RMSD _{lit} | RMSD | A ₂₂ | A ₂₃ | A ₃₁ | A ₁₃ | A ₂₁ | A ₁₂ | سامانه |
|------|---------------------|-------|-----------------|-----------------|-----------------|-----------------|-----------------|-----------------|---------|
| [۲] | -/0031 | /0012 | -52/3 | 1041/5 | 327/0 | 388/1 | 77/2 | -509/6 | ۱ |
| [۲] | -/0097 | /0012 | 1327/0 | 1047/0 | -95/0 | 4464/4 | 314/0 | 450/4 | ۲ |
| [۲] | -/0228 | /0013 | 88/2 | 4472/9 | 12/7 | 117/4 | 122/6 | 68/4 | ۳ |
| [۲] | -/0078 | /0039 | 232/48 | 562/25 | -105/25 | 544/48 | 114/09 | -44/86 | ۴ |
| [۲۴] | -/0184 | /0057 | 4471/8 | 656/5 | 141/5 | 243/5 | 68/9 | 4405/5 | ۵ |
| [۲۴] | -/0134 | /0034 | 4473/0 | 690/1 | -45/4 | -65/1 | 174/6 | 1229/4 | ۶ |
| [۲۴] | -/0227 | /0011 | -191/9 | 347/1 | 2186/2 | -48/6 | 2612/3 | 347/3 | ۷ |
| [۲۴] | -/0309 | /0005 | -303/9 | 664/8 | 4826/9 | 165/9 | 206/2 | 65/24 | ۸ |
| [۲۵] | -/0336 | /0114 | 4473/0 | 1064/1 | -326/9 | 267/0 | -10/4 | 25/5 | ۹ |
| [۲۶] | -/0219 | /0056 | -120/8 | 471/2 | -1491/0 | 102/5 | -392/9 | 66/7 | ۱۰ |
| [۲۶] | | /0033 | -408/1 | 4789/3 | 4771/2 | 120/1 | 406/9 | 127/6 | ۱۱ |
| [۲۷] | -/0124 | /0017 | -1089/0 | 2357/8 | 4657/7 | 1774/7 | 59/0 | -64/8 | ۱۲ |
| [۲۷] | -/0124 | /0089 | -211/1 | 279/8 | 3820/8 | -131/4 | 4623/0 | 470/2 | ۱۳ |
| [۲۷] | -/0124 | /0028 | -243/0 | 750/3 | 476/2 | 227/6 | 19/51 | 71/24 | ۱۴ |
| [۲۸] | -/0169 | /0028 | 4380/1 | 885/5 | -313/9 | 976/4 | 149/3 | -191/3 | ۱۵ |
| [۲۹] | -/0169 | /0035 | 4623/0 | 972/8 | -339/8 | 1120/3 | 136/2 | -233/1 | ۱۶ |
| [۲۹] | -/0253 | /0008 | 325/6 | 533/5 | -190/8 | 26/48 | 116/9 | 167/7 | ۱۷ |
| [۳۰] | -/0298 | /0029 | 362/2 | 479/1 | -211/4 | 4657/7 | 4632/0 | -76/2 | ۱۸ |
| [۳۰] | -/0259 | /0008 | 440/7 | 724/9 | -245/8 | 60/24 | 102/3 | 145/7 | ۱۹ |
| [۳۰] | -/0070 | /0054 | -23/9 | 859/6 | 156/1 | 4611/2 | 12/3 | -229/1 | ۲۰ |
| | -/0181 | /0034 | | | | | | | |
| | | | | | | | | | میانگین |



شکل ۲-نمودار مثلثی خطوط رابط LLE داده‌های آزمایشگاهی و تعیین شده توسط مدل‌های ترمودینامیکی برای سامانه سه جزئی (الف) شماره ۹ و (ب) شماره ۱۲ از جدول (۳): (● مشکی) داده‌های آزمایشگاهی، (● آبی) مارگولس ۲-پارامتری، (△) مارگولس ۳-پارامتری، (○) ویلسون، (◇) NRTL و (□) UNIQUAC.



شکل ۳-نمودار فاکتور انتخاب پذیری داده‌های آزمایشگاهی و تعیین شده توسط مدل‌های ترمودینامیکی برای سامانه سه جزئی (الف) شماره ۹ و (ب) شماره ۱۲ از جدول (۳): (●) داده‌های آزمایشگاهی، (○) مارگولس ۲-پارامتری، (△) مارگولس ۳-پارامتری، (□) ویلسون، (◇) NRTL و (▲) UNIQUAC.

سامانه‌ها توسط مدل‌ها به ترتیب $\text{UNIQUAC} < \text{NRTL} < \text{مارگولس-۳-پارامتری} < \text{ویلسون} < \text{مارگولس-۲-پارامتری}$ است. در مدل‌سازی این سامانه‌ها به جز مارگولس ۲-پارامتری که دقت کمتری دارد دیگر مدل‌ها دقت به نسبت خوبی دارد. میانگین RMSD ذکر شده در سامانه‌های مورد مطالعه در مدل‌های NRTL و UNIQUAC به ترتیب مدل‌ها از ۰/۰۱۲۴ و ۰/۰۱۸۱ به ۰/۰۰۱۶

مبتنی بر انتخاب طبیعی و تصادفی جمعیت و بدون نیاز به حدس اولیه، انجام شد. پارامترهای برهمکنش مدل‌ها و آنها RMSD برای این سامانه‌ها گزارش شده است. نتیجه‌های میانگین RMSD برای ۱۲۶ خط رابط به ترتیب مدل‌های یادشده ۰/۰۲۹۴، ۰/۰۰۴۱، ۰/۰۱۱۴، ۰/۰۰۱۶ و ۰/۰۰۳۴ شده است. نتیجه‌های به دست آمده نشان می‌دهد دقت پیش‌بینی رفتارهای فازی و خط رابط برای این

۰/۰۰۳۴ بهبود یافتن و نتیجه‌ها نشان می‌دهد روش الگوریتم بهینه‌سازی توده ذره‌ها یک روش دقیق‌تر و قابل‌اعتماد‌تر در مقایسه با سایر روش‌های سنتی گزارش شده در مقاله‌ها است.

تاریخ دریافت: ۱۲/۰۶/۱۳۹۹؛ تاریخ پذیرش: ۱۵/۱۰/۱۳۹۹

مراجع

- [1] Ghanadzadeh Gilani H., Ghanadzadeh Gilani A., Sangashekan M., Tie-Line Data for the Aqueous Solutions of Phenol with Organic Solvents at $T = 298.2\text{ K}$, *J. Nanomat.*, **58**: 142-148 (2013).
- [2] Shekarsaraee S. L., Ghanadzadeh Gilani A., Ghanadzadeh Gilani H., Kashef A., Fallahi S., Liquid Phase Equilibria of Aqueous Mixtures of Carboxylic Acids (C1-C4) with Ethylbenzene: Thermodynamic and Mathematical Modelling, *J. Chem. & Eng. Data*, **61**: 3391–3397 (2016).
- [3] Ghanadzadeh Gilani A., Azadian M., Tie-Line Data for Water-Formic Acid-1-Decanol Ternary System at $T = 298.2, 303.2, 313.2$, and 323.2 K , *J. Therm. Acta*, **547**: 141-145 (2012).
- [4] Sangashekan M., Asan Sh., Ghanadzadeh Gilani H., Investigation of Eosin B Removal from Aqueous Solution Employing Combined Graphene Oxide Adsorption and Zinc Oxide Coagulation Processes, *J. Fib. and Poly.*, **20**: 1411-1417 (2019).
- [5] Matlock M. M., Werton B. S., Atwood D. A., Chemical Precipitation of Heavy Metals from Acid Mine Drainage, *J. Water Res.*, **36**: 4757-4764 (2002).
- [6] Hunsom M., Pruksathorn K., Damronglerd S., Vergnes H., Duverneuil P., Electrochemical Treatment of Heavy Metals ($\text{Cu}^{2+}, \text{Cr}^{6+}, \text{Ni}^{2+}$) from Industrial Effluent and Modeling of Copper Reduction, *J. Water Res.*, **39**: 610-616 (2005).
- [7] Maturana H. A., Peric I. M., Rivas B. L., Pooley S. A., Interaction of Heavy Metal Ions with an Ion Exchange Resin Obtained from a Natural Polyelectrolyte, *J. Poly. Bull.*, **67**: 669-676 (2011).
- [8] Lintomen L., Pinto R. T. P., Batista E., Meirelles A. J. A., Maciel M. R. W., Liquid-Liquid Equilibrium of the Water + Citric Acid + 2-Butanol + Sodium Chloride System at 298.15 K , *J. Chem. & Eng. Data*, **45**: 1211-1214 (2000).
- [9] Lintomen L., Pinto R.T.P., Batista E., Meirelles A.J.A., Maciel M.R.W., Liquid-Liquid Equilibrium of the Water + Citric Acid + Short Chain Alcohol + Tricaprylin System at 298.15 K , *J. Chem. & Eng. Data*, **46**: 546-550 (2001).
- [10] Wu X. M., Guo H., Soyekwo F., Zhang Q. G., Lin C. X., Liu Q. L., Zhu A.M., Pervaporation Purification of Ethylene Glycol Using the Highly Permeable PIM-1 Membrane, *J. Chem. & Eng. Data*, **46**: 579–586 (2016).
- [11] Yu L., Zhou W., Li Y., Zhou Q., Xu H., Gao B., Wang Zh., Antibacterial Thin-Film Nanocomposite Membranes Incorporated with Graphene Oxide Quantum Dot-Mediated Silver Nanoparticles for Reverse Osmosis Application, *J. Sust. Chem. & Eng.*, **7**: 8724-8734 (2019).

- [12] González E. J., Calvar N., Gómez E., Domínguez Á., Application of [EMim][ESO 4] Ionic Liquid as Solvent in the Extraction of Toluene from Cycloalkanes: Study of Liquid–Liquid Equilibria at $T= 298.15\text{ K}$, *J. Fluid Phase Equil.*, **303**: 174–179 (2011).
- [13] Calvar N., Domínguez I., Gómez E., Domínguez Á., Separation of Binary Mixtures Aromatic+ Aliphatic Using Ionic Liquids: Influence of the Structure of the Ionic liquid, Aromatic and Aliphatic, *J. Chem. & Eng. Data*, **175**: 213–221 (2011).
- [14] Fandary M. S., Alkhaldi K. H., Al-Jimaz A. S., Al-Rashed M. H., AlTuwaim M. S., Evaluation of [Bmim][PF 6] as an Ionic Solvent for the Extraction of Propylbenzene from Aliphatic Compounds, *J. Chem. Thermodynamics*, **54**: 322–329 (2012).
- [15] Corderi S., Calvar N., Gómez E., Domínguez A., Capacity of Ionic Liquids [EMim][NTf₂] and [EMpy][NTf₂] for Extraction of Toluene from Mixtures with Alkanes: Comparative Study of the Effect of the Cation, *J. Fluid Phase Equil.*, **315**: 46–52(2012).
- [16] Sahoo R. K., Banerjee T., Ahmad S. A., Khanna A., Improved Binary Parameters using GA for Multi-Component Aromatic Extraction: NRTL Model Without and with Closure Equations, *J. Fluid Phase Equil.*, **239**: 107–119 (2006).
- [17] Singh M. K., Banerjee T., Khanna A., Genetic Algorithm to Estimate Interaction Parameters of Multicomponent Systems for Liquid–Liquid Equilibria, *J. Comp. & Chem. Eng.*, **29**: 1712–1719 (2005).
- [18] Sahoo R. K., Banerjee T., Khanna A., UNIQUAC Interaction Parameters with Closure for Imidazolium Based Ionic Liquid Systems Using Genetic Algorithm, *Canad. J. Chem. Eng.*, **85**: 833–840 (2007).
- [19] Rashtchian D., Ovaysi S., Taghikhani V., Ghotbi C., Application of the Genetic Algorithm to Calculate the Interaction Parameters for Multiphase and Multicomponent Systems, *Iran. J. Chemistry and Chemical Eng. (IJCCE)*, **26(3)**: 89–96 (2007).
- [20] Alvarez V. H., Larico R., Ianos Y., Aznar M., Parameter Estimation for VLE Calculation by Global Minimization: The Genetic Algorithm, *Braz. J. Chem. Eng.*, **25**: 409–416 (2008).
- [21] Vatani M., Asghari M., Vakili-Nezhaad Gh., Application of Genetic Algorithm to the Calculation of Parameters for NRTL and Two-Suffix Margules Models in Ternary Extraction Ionic Liquid Systems, *J. Ind. and Eng. Chem.*, **18**: 1715–1720 (2012).
- [22] Kabouche A., Boultif A., Abidi A., Gherraf N., Interaction Parameter Estimation in Liquid–Liquid Phase Equilibrium Modeling using Stochastic and Hybrid Algorithms, *J. Fluid Phase Equil.*, **336**: 113– 121 (2012).
- [23] Asgarpour M., Hallaji A., Using genetic Algorithm (GA) and Particle Swarm Optimization (PSO) Methods for Determination of Interaction Parameters in Multicomponent Systems of Liquid–Liquid Equilibria, *J. Fluid Phase Equil.*, **365**: 141– 145 (2014).

- [24] Ghanadzadeh H., Ghanadzadeh A., Saadat S. L. S., Experimental and Correlational Study of Phase Equilibria in Aqueous Solutions of Formic and Butyric Acids with Isoamyl Acetate and Methyl Isoamyl Ketone at $T = 298.15\text{ K}$, *J. of Chem. & Eng. Data*, **59**: 917–925 (2014).
- [25] Shekarsaraee S., mohamadizad F., Liquid-Liquid Equilibria for the Aqueous Mixture of C5 Carboxylic Acids and Heavier Than Water Solvents at $T = 298.2\text{ K}$, *J. Chem. Thermodynamics*, **118**: 316–324 (2017).
- [27] Ghanadzadeh A., Amouzadeh F., Ghalami-Chobar B., A Comparative Study of Liquid–Liquid Equilibria for Aqueous Mixtures of Straight Chain and Branched Chain Carboxylic Acids with Methyl Isobutyl Carbinol, *J. Chem. Thermodynamics*, **143**: 16–26 (2020).
- [28] Ghanadzadeh A., Ghanadzadeh H., Saadat S. L. S., Nasiri-Touli E., Peer M., Liquid-Liquid Equilibrium data in Aqueous Solutions of Propionic and Butyric Acids with 1-Heptanol at $T=(298.15, 308.15, \text{ and } 318.15)\text{ K}$, *Korean J. Chem. Eng.*, **33**: 1408–1415 (2016).
- [29] Ghanadzadeh A., Ghanadzadeh H., Saadat S. L. S., Solubility and Tie Line Data for the Aqueous Solutions of Butyric Acid with 1-Octanol and 2-Ethyl-1-Hexanol at Various Temperatures, *J. Fluid Phase Equil.*, **361**: 45– 53 (2014).
- [30] Demirel C., Cehreli S., Phase Equilibrium of (Water + Formic or Acetic Acid + Ethyl Heptanoate) Ternary Liquid Systems at Different Temperatures, *J. Fluid Phase Equil.*, **356**: 71– 77 (2013).
- [31] Seader J. D., Henley E. J., "Separation Process Principles", 2nd ed., John Wiley & Sons, Inc, New York, USA (2006).
- [32] Prausnitz J. M., Lechtenthaler R. N. Azevedo E. G., "Molecular Thermodynamics of Fluid Phase Equilibria", 3rd ed., Prentice-Hall, New York, USA (1999).
- [33] Kennedy J., Eberhart R., Particle Swarm Optimization, *IEEE International Conference on Neural Networks*, **4**: 1942–1948 (1995).
- [34] Bondi A., "Physical Properties of Molecular Crystals Liquids and Glasses", John Wiley and Sons Inc, New York, USA (1968)